



Статья

Эффективная и экологически чистая процедура электрофильной Тиоцианирование анилинов и 1-(замещенных бензилиден)-2-фенилгидразины

АММ Малликарджунасвами и Випин А. Наир 4,*

- ¹, Гутами Курувалли ², Хаджамохиддин Саед ^{3,*}

 , Вадди Дамодара Редди ^{2,3}
- Кафедра химии, Школа прикладных наук, Университет REVA, Елаханка, Бангалор 560064, Карнатака, Индия
- Кафедра биотехнологии, Школа прикладных наук, Университет REVA, Елаханка, Бангалор 560064. Карнатака. Индия
- 3 Кафедра биохимии и микробиологии факультета естественных наук, сельского хозяйства и инженерии, Университет Зулуленда, Ква-Длангезва 3886, Южная Африка
- ⁴ Школа биотехнологии, Амрита Вишва Видьяпитхам, кампус Амритапури, Клаппана, Коллам 690525, Керала, Индия
- * Переписка: khajamohiddinsyed@gmail.com (КС); vn74nr@gmail.com (ВАН)

Аннотация: Тиоцианаты образуют важный класс органических соединений, обычно встречающихся в природных продукты, обладающие превосходной антимикробной активностью. Электрофильное тиоцианирование является одним из наиболее эффективные методы введения функциональной группы -SCN в исходную органическую молекулу. В В этой работе мы исследовали экологически чистый и высокоэффективный метод тиоцианирования анилинов и 1-(замещенный бензилиден)-2-фенилгидразины с использованием коммерчески доступного N-бромскукцинимида. (NBS) и тиоцианат калия (KSCN). Оптимизированный протокол позволил получить тиоцианаты с хорошими региоселективность и превосходные выходы по сравнению с доступными методами.

Ключевые слова: N-бромсукцинимид; КССН; ароматические амины; шиффовые основы; электрофильное тиоцианирование



Цитата: Малликарджунасвами, АММ; Курувалли, Г.; Сайед, К.; Редди, В.Д.; Наир В.А. Эффективный и экологически чистая процедура Электрофильное тиоцианирование Анилины и 1-(Замещенные

бензилиден)-2-фенилгидразины. Химия 2024, 6, 476-488. https:// doi.org/10.3390/chemistry6030027

Академический редактор: Анджело Фронджиа

Поступила: 23 апреля 2024 г. Пересмотрено: 23 мая 2024 г. Принято: 26 мая 2024 г. Опубликовано: 10 июня 2024 г.



Копирайт: © 2024 авторов.
Лицензиат MDPI, Базель, Швейцария.
Эта статья находится в открытом доступе.
распространяется на условиях и
условия Creative Commons

Лицензия с указанием авторства (СС BY) (https://
Creativecommons.org/licenses/by/
4.0/).

1. Введение

Тиоцианирование как ароматических, так и гетероароматических соединений представляет собой важнейшую трансформацию, имеющую значение как для органического синтеза, так и для фармацевтики [1,2]. В последние годы наблюдается значительный интерес к серосодержащим ароматическим соединениям из-за их разнообразной биологической активности. Среди этих соединений тиоцианаты представляют собой выдающийся класс, служащий ключевыми строительными блоками в синтезе фармакологически активные соединения. Тиоцианаты проявляют разностороннюю реакционную способность, что приводит к образованию тиолы [3], сульфонилхлориды [4], сульфиды [5], трифторметиловые (или дифторметил) сульфиды [6,7], дисульфиды [8], фосфонотиоаты [9] и другие серосодержащие гетероциклы [10 ,11]. Эта функциональная группа хорошо известна во многих биологически активных натуральные продукты [12–17] и синтетические соединения, показывающие их как потенциальные ферменты. ингибиторы (рис. 1), применение которых варьируется от лечения болезни Шагаса [18,19] до рак [20,21] и более поздние соображения относительно COVID-19 [22].

Для тиоцианирования ароматических систем использовались различные методы с использованием разные реагенты. Например, было достигнуто тиоцианирование индолов и карбазолов. с использованием тиоцианата аммония по реакциям, опосредованным глиной монтмориллонита К 10 [23]. Тиоцианирование спиртов, триметилсилиловых и тетрагидропираниловых эфиров проводили с использованием дифенилфосфинитовая ионная жидкость [24]. В качестве окислителя использовался пероксидисульфат Си(II). для α-тиоцианирования карбонильных и β-дикарбонильных соединений [25]. Тиоцианирование ароматические соединения осуществляли анодным окислением тиоцианат-аниона до SCN. радикал [26]. Индолы и пиррол вступают в реакцию с роданидом аммония в

к радикалу SCN [26]. Индолы и пиррол вступают в реакцию с тиоцианатом аммония в присутствии прирабочко тко цианичны таммания ния видрисунствити сунофианы тики слоча 924 г. для толдина привания ТИЗУКССБУЛЬЙНА, КОНДЕН ЕНГОВРАННЫЯ СТАНА ЦИВЬ-КЛОГОКСЕНВИН НАЯ ПРОИСУУЮВ [28] ОБІЛЬ У-БУБИВОВ НА методика NBS [29], синтеза циклогексен-конденсированных N-оксидов изоксазолина в мягких условиях [29].

РИфА) ЛимпиАн) Тиеттревера црв в вранда в праводот в гранической в город правод в город в горо неикимикинаторыя качестве (Разнувтураурыных и продуктов и (СГА) ини би бытов ров и ферментов.

Былод а пра бозваниом нес бөлых о преобдезенсине свалыхоци о падов н Реамиря Реамира кадага комотеза, т**римоория тримировой изичуровой влажного Бі Фазала и 50ДУ, к тту три веа и модерезован**оти оци анатом XTETPEPSERTIN STOYO NU BAPTIEITO TE KINCA OF BEPOSTEU IB CIÉ FEISOFENA HO TI QUO ALVA L'ARMYERKEN SU POUNE ALVEURO тродынида-аниона в растворителе дихлорметане [30]. Среди других окилоидеряй амхочисцивичета <u>ӬӷӭҘҬѴӬѥ҇Ѧ҇ҸӣҼҥЍӢҥ҅ӈҠҥѽҍҾӎҠҾӉҠӫҔӅѴѲҔӢѲӃѦҠҕѲӉ҇ӢѲѩҠӎҥҝѲҝҞҩӥҾѩѷҾҧѤҧѤҧҾ҅ѩ҅҅ӷҫѷҍҁӼӥѴӷҕҿ҅ѷ</u> Пеняберавинатының также форминдина, пайв им каламу бизико-парванды байыным байы беретынатрия 2 ራጉሉዋንያዋናድ ሊልሣይንለካ መገናሥ ባወቁይ የዳየው የተመመር የመመር የመደር የመደር የመደር የመደር የመጀመር የመ имбальз эваничем о колна в гробраниета носта 13 ф и мень гво бельначи и времы в вруче бель в и мень гво бельначи в вруче бель в в и мень гво бельначи в вруче бель в в и мень гво бельначи в в в и мень гво бель в и мень безврення, българиреджелеза в сихноличетем вез водничильниродет жел водожность в редуста в редус твердого тела при использовании кислого оксида алюминия [38], DDO опосредует тиоцианирование электронодонорной способности ароматического ядра [39], Попытки получить продукт с субстратами зависят от электронодонорной способности ароматического ядра [39]. Попытки создания пятиокиси иода не обнадежили [40]. Гиоцианирование в иодноватой кислоте позволило получить хороший продукт с пятиокисью йода, но это не обнадеживало [40]. Тиоцианирование дает выходы, но в качестве растворителя использовали хлороформ [41]. С перекисью водорода или иодной

кислоты, реакцию проводили в водной среде [42]. Дихлоридобензол способствует реакции при 0 С в среде дихлорметана [43]. Несмотря на эти достижения, используемые методы имеют одно или несколько ограничений, таких как низкий выход, узкий объем субстрата, галогенированный или токсичный растворитель, необходимость чрезмерного количества сильного окислителя, кислые условия, гетерогенная реакционная фаза, плохая производительность, безводная среда, длительное время реакции, инертная атмосфера и строгие условия реакции с трудностями масштабирования. Поэтому существует неудовлетворенная потребность в разработке эффективного процесса синтеза роданидных производных анилинов. Простая процедура тиоцианирования была продемонстрирована на ареновых субстратах с использованием N-тиоцианатсуки Однако возможности этой стратегии не были широко изучены для производных анилина и 1- (замещенных бензилиден)-2-фенилгидразинов. Поэтому мы решили исследовать реакции электрофильного тиоцианирования этих субстратов в экологически чистых условиях с использованием N-бромсукцинимида и тиоцианата калия в среде этанола.

2. Экспериментальный раздел 2.1. Материалы и методы

Все химикаты были получены от коммерческих поставщиков и использовались без дополнительной очистки. Реакции проводили в высушенной в печи стеклянной посуде при соответствующих атмосферных условиях. Для контроля за ходом реакций применяли тонкослойную хроматографию (ТСХ), а именно пластины Merck Silicagel 60 F254 толщиной 0,25 мм , визуализацию осуществляли с помощью УФ-света. В колоночной хроматографии в качестве неподвижной фазы использовали силикагель 60–120 меш. Элюирование осуществляли с использованием смеси гексана и этилацетата в качестве подвижной фазы. Спектры ядерного магнитного резонанса (ЯМР) записывали с использованием спектрометра Jeol ECZ 400R, работающего на частоте 400 МГц для ЯМР 1H и 100 МГц для ЯМР 13С . В качестве растворителя использовали CDCl3 , а в качестве внутреннего стандарта – тетраметилсилан (ТМС). Химические сдвиги (δ) были указаны относительно остаточных сигналов растворителя, а именно 7,25 м.д. для 1H ЯМР и триплета с центром при 77,00 м.д. для 13С ЯМР. Масс-спектрометрический анализ проводился с использованием квадрупольного времяпролетного масс-спектрометра Agilent ESI (ионизация электрораспылением). ИК спектры записаны на фурье-спектрофотометре

Bruker Alpha II. (i) Общая процедура синтеза аналогов тиоцианатоанилина

К раствору N-бромсукцинимида (1,0 ммоль) в EtOH (10 мл) добавляли KSCN (2,1 ммоль) и перемешивали при комнатной температуре (27 С) в течение 5 мин. К этому раствору добавляли замещенный анилин (1,0 ммоль) и реакционную смесь перемешивали при комнатной температуре (27 С) в течение 20 мин. Реакционную смесь концентрировали, разбавляли водой и трижды экстрагировали EtOAc. Объединенные органические экстракты концентрировали в вакууме и полученный сырой продукт очищали колоночной хроматографией на силикагеле (60–120 меш), используя смесь гексана и этилацетата (10:1) в качестве подвижной фазы, с получением желаемого продукта. . 4-

тиоцианатоанилин (1a) [30]: бледно-коричневое твердое вещество; Выход 98%; т.пл. = 52–53 С; ИК (vmax, см-1): 3374,27, 2152,01, 1707,83, 1625,05, 1594,80, 1495,78, 1428,12, 1361,05, 1301,37, 1221,64, 1 1129,30, 1085,54, 824,74, 676,97; ЯМР 1Н (400 МГц, CDCl3) δ м.д.: 7.31–7.34 (м, 2H, Ar), 6.63–6.66 (м, 2H, Ar), 3.97 (с, 2H, NH2); ЯМР 13С (100 МГц, CDCl3) δ м.д.: 148,9, 134,6, 116,2, 112,5, 109,6; HRMS (ESI): вычислено m/z. для С7H6N2S [M + H]+ : 151,0252; найдено: 151.0486.

2-хлор-4-тиоцианатоанилин (1b) [39]: белое твердое вещество; Выход 96%; т.пл. = 64-66 С; ИК (vmax, см-1): 3474,59, 3372,59, 3233,14, 2925,76, 2154,54, 2054,68, 1623,93, 1591,81, 1476,32, 1420,75, 1315,22, 1239,46, 112 3,23, 1020,23, 902,03, 849,96, 813,39; ЯМР 1Н (400 МГц, CDCl3) δ м.д.: 7.48 (д, 1H, Ar), 7.25–7.28 (м, 1H, Ar), 6.75 (д, 1H, Ar), 4.38 (с, 2H, NH2); ЯМР 13С (100 МГц, CDCl3) δ м.д.: 145,4, 133,9, 132,7, 119,8, 116,5, 111,7, 110,1; HRMS (ESI): вычислено m/z. для C7H5ClN2S [M + H]+ : 184,9864; найдено: 184,9975.

2-метил-4-тиоцианатоанилин (1c) [42]: Кремово-белое твердое вещество; Выход 96%; т. пл. = 68–70 С; ИК (умах, см-1): 3449,59, 3368,62, 3246,89, 2924,89, 2150,60, 1628,89, 1592,12, 1568,60, 1491,02, 1454,53, 1402,63, 1296,51, 115 3,92, 1091,96, 1032,18, 995,58, 885,14, 814,70, 719,01; ЯМР 1H (400 МГц, CDCl3) δ м.д.: 7.24–7.26 (м, 1H, Ar), 7.20–7.23 (м, 1H, Ar), 6.59–6.68 (м, 1H, Ar), 3.90 (с, 2H, NH2), 2,13 (с, 3H, CH3); ЯМР 13С (100 МГц, CDCl3) δ м.д.: 147,2, 135,1, 132,2, 124,0, 115,8, 112,7, 109,3, 17,3; HRMS (ESI): вычислено m/z. для C8H8N2S [M+H]+ : 165,0408; найдено: 165.0509.

4-метил-2-тиоцианатоанилин (1d): белое твердое вещество; Выход 97%; т. пл. = 80-82 С; ЯМР 1H (400 МГц, CDCl3) δ м.д.: 7.34 (д, 1H, Ar), 6.56-6.58 (м, 1H, Ar), 6.46-6.50 (м, 1H, Ar), 3.91 (с, 2H, NH2) , 2,43 (с, 3H, CH3); ЯМР 13C (100 МГц, CDCl3) δ м.д.: 149,5, 143,1, 136,4, 117,4, 113,8, 112,2, 109,1, 21,0; HRMS (ESI): вычислено m/z. для C8H8N2S [M+H]+ : 165,0408; найдено: 165.641.

2,3-дихлор-4-тиоцианатоанилин (1e): желтое твердое вещество; Выход 96%; т. пл. = 75–77 С; ИК (vmax, см-1): 3333,01, 3226,89, 2925,74, 2161,17, 1708,24, 1629,63, 1577,77, 1539,59, 1466,44, 1393,56, 1359,26, 1323,83, 129 4,70, 1220,32, 1181,86, 1109,75, 1056,51, 919,81, 813,47, 773,60; 1H ЯМР (400 МГц, CDCl3) δ м.д.: 7,39 (д, 1H, Ar), 6,70 (д, 1H, Ar), 4,50 (с, 2H, NH2); ЯМР 13С (100 МГц, CDCl3) δ м.д.: 146,5, 135,5, 132,0, 118,9, 114,1, 110,6, 110,5; HRMS (ESI): вычислено m/z. для C7H4Cl2N2S [M + H]+ : 217,9472; найдено: 217.0195.

2-фтор-4-тиоцианатоанилин (1f): бледно-желтое твердое вещество; Выход 95%; т.пл. = 61-63 С; ИК (vmax, cm-1): 3474,59, 3372,59, 3233,14, 2925,76, 2154,54, 2054,68, 1623,93, 1591,81, 1476,32, 1420,75, 1315,22, 1239,46, 112 3,23, 1020,23, 902,03, 849,96, 813,39; ЯМР 1Н (400 МГц, CDCl3) δ м.д.: 7.19–7.23 (м, 1H, Ar), 7.12–7.16 (м, 1H, Ar), 6.73–6.78 (м, 1H, Ar), 4.09 (с, 2H, NH2); ЯМР 13С (100 МГц, CDCl3) δ м.д.: 152,2, 149,8, 137,6, 129,9, 120,0, 117,4, 111,8; HRMS (ESI): вычислено m/z. для C7H5FN2S [M + H]+ : 169,0157; найдено: 169.0281.

4-фтор-2-тиоцианатоанилин (1 г): бледно-желтое твердое вещество; Выход 96%; т. пл. = 76-78 С; ЯМР 1H (400 МГц, CDCl3) δ м.д.: 7.44–7.48 (м, 1H, Ar), 7.26–7.30 (м, 1H, Ar), 6.99–7.05 (м, 1H, Ar), 5.42 (с, 2H, NH2); ЯМР 13С (100 МГц, CDCl3) δ м.д.: 160,0, 119,8, 119,7, 114,0, 113,7, 107,9, 107,6; HRMS (ESI): вычислено m/z. для C7H5FN2S [M + H]+ : 169,0157; найдено: 169.0281.

3-хлор-4-тиоцианатоанилин (1h): желтое твердое вещество; Выход 97%; т.пл. = 70–72 С; ИК (vmax, cm-1): $3474,59,3372,59,3233,14,2925,76,2154,54,2054,68,1623,93,1591,81,1476,32,1420,75,1315,22,1239,46,1123,23,1020,23,902,03,849,96,813,39; ЯМР 1Н (400 МГц, CDCI3) <math>\delta$ м.д.: 7.39–7.40 (м, 1H, Ar), 6.75–6.77 (м, 1H, Ar), 6.54–6.57 (м, 1H, Ar), 4.08 (с, 2H, NH2); ЯМР 13С (100 МГц, CDCI3) δ м.д.: 150,0,137,8,135,4,116,2,114,6,111,2,108,7; HRMS (ESI): вычислено m/z. для C7H5CIN2S [M + H]+: 184,9862; найдено: 184,9978.3,5-дихлор-4-

тиоцианатоанилин (1i): кремово-белое твердое вещество; Выход 96%; т. пл. = 65–67 С; ИК (vmax, cм-1): 3408,88, 3333,01, 3226,89, 2925,74, 2161,17, 1708,24, 1629,63, 1577,77, 1539,59, 1466,44, 1393,56, 1359,26, 132 3,83, 1294,70, 1220,32, 1181,86, 1109,75, 1056,51, 919,81, 813,47, 773,60 ; ЯМР 1H (400 МГц, CDCl3) δ м.д.: 6.71–6.73 (м, 2H, Ar), 4.15 (с, 2H, NH2); ЯМР 13С (100 МГц, CDCl3) δ м.д.: 150,4, 141,7, 114,9, 110,0, 107,9; HRMS (ESI): вычислено m/z. для C7H4Cl2N2S [M + H] + : 218,9472; найдено: 218.9472. 3-метил-4-

тиоцианатоанилин (1j) [42]: желтое твердое вещество; Выход 96%; т. пл. = 81–83 С; ИК (vmax, см-1): 3427,48, 3339,89, 3213,03, 2920,65, 2146,96, 1708,08, 1625,62, 1592,74, 1481,86, 1453,57, 1360,12, 1325,91, 125 4,65, 1221,13, 1139,17, 1034,00, 858,95, 817,13, 739,36, 671,84; ЯМР 1Н (400 МГц, CDCI3) δ м.д.: 7.34 (д, 1H, Ar), 6.56–6.59 (м, 1H, Ar), 6.46–6.50 (м, 1H, Ar), 3.91 (с, 2H, NH2) , 2,44 (с, 3H, CH3); ЯМР 13С (100 МГц, CDCI3) δ м.д.: 149,5, 143,1, 136,4, 117,4, 113,8, 112,2, 109,1, 21,0; НRМS (ESI): вычислено m/z. для С8Н8N2S [М+Н]+ : 165,0408; найдено: 165.0754. 2-метокси-4-тиоцианатоанилин (1k): белое твердое вещество; Выход

96%; т.пл. = 52–54 С; ИК (vmax, см-1): 3449,59, 3368,62, 3246,89, 2924,89, 2150,60, 1628,89, 1592,12, 1568,60, 1491,02, 1454,53, 1402,63, 1296,51, 3,92, 1091,96, 1032,18, 995,58, 885,14, 814,70, 719,01; ЯМР 1Н (400 МГц, CDCl3) δ м.д.: 6.99–7.02 (м, 1H, Ar), 6.94 (д, 1H, Ar), 6.64–6.68 (м, 1H, Ar), 4.08 (с, 2H, NH2) , 3,86 (с, 3H, OCH3); ЯМР 13С (100 МГц, CDCl3) δ м.д.: 147,7, 139,1, 126,9, 115,0, 114,6, 112,5, 109,0, 55,8; HRMS (ESI): вычислено m/z. для C8H8N2OS [M+H]+ : 181,0352; найдено: 181.0760.

2,6-диметил-4-тиоцианатоанилин (1л) [30]: белое твердое вещество; Выход 97%; т.пл. = 85–87 С; ИК (vmax, см-1): 3412,21, 3343,82, 2971,60, 2151,47, 1709,41, 1636,90, 1582,66, 1465,66, 1438,27, 1360,04, 1284,95, 1221,05, 111 3,24, 1027,29, 867,69, 746,19, 731,58; ЯМР 1Н (400 МГц, CDCl3) δ м.д.: 7.15–7.16 (м, 2H, Ar), 3.82 (c, 2H, NH2), 2.15 (м, 6H, 2 × CH3); ЯМР 13С (100 МГц, CDCl3) δ м.д.: 145,3, 132,9, 123,2, 112,8, 108,6, 17,5; HRMS (ESI): вычислено m/z. для C9H10N2S [M + H]+ : 179,0565; найдено: 179.095.

4-бром-2-тиоцианатоанилин (1 м): желтое твердое вещество; Выход 98%; т. пл. = 73–75 С; ИК (умах, см-1): 3474,59, 3372,59, 3233,14, 2925,76, 2154,54, 2054,68, 1623,93, 1591,81, 1476,32, 1420,75, 1315,22, 1239,46, 112 3,23, 1020,23, 902,03, 849,96, 813,39; ЯМР 1Н (400 МГц, CDCl3) δ м.д.: 7.44–7.48 (м, 1H, Ar), 7.26–7.30 (м, 1H, Ar), 6.99–7.05 (м, 1H, Ar), 5.49 (с, 2H, NH2); ЯМР 13С (100 МГц, CDCl3) δ м.д.: 160,0, 119,8, 119,7, 114,0, 113,7, 107,9, 107,6; HRMS (ESI): вычислено m/z. для C7H5BrN2S [M + H]+ : 230,9357; найдено:

230.9581. 4-метокси-2-тиоцианатоанилин (1n): бледно-желтое твердое вещество; Выход 96%; т. пл. = 100–102 С; ЯМР 1H (400 МГц, CDCl3) δ м.д.: 6.99–7.02 (м, 1H, Ar), 6.94 (д, 1H, Ar), 6.65–6.67 (м, 1H, Ar), 4.08 (с, 2H, NH2) , 3,86 (с, 3H, OCH3); ЯМР 13С (100 МГц, CDCl3) δ м.д.: 147,7, 139,1, 126,9, 115,0, 114,6, 112,5, 109,0, 55,8; HRMS (ESI): вычислено m/z. для C8H8N2OS [M+H]+ : 181,0357; найдено:

 $181.0557.\ 2,4$ -диметил-6-тиоцианатоанилин (10): белое твердое вещество; Выход 96%; т.пл. = 75–76 С; ЯМР 1Н (400 МГц, CDCI3) δ м.д.: 7,21–7,23 (м, 1H, Ar), 6,92–6,94 (м, 1H, Ar), 5,65 (с, 2H, NH2), 2,50 (с, 3H, CH3) , 2,35 (с, 3H, CH3); ЯМР 13С (100 МГц, CDCI3) δ м.д.: 164,8, 148,9, 132,0, 131,3, 128,4, 128,3, 118,5, 21,3, 18,5; HRMS (ESI): вычислено m/z. для C9H10N2S [М + H]+ : 179,0565; найдено:

179.0882. 4-хлор-2-тиоцианатоанилин (1p): желтое твердое вещество; Выход 98%; т. пл. = 69–71 С; ЯМР 1H (400 МГц, CDCl3) δ м.д.: 7.44–7.48 (м, 1H, Ar), 7.26–7.30 (м, 1H, Ar), 6.99–7.05 (м, 1H, Ar), 5.40 (с, 2H, NH2); ЯМР 13С (100 МГц, CDCl3) δ м.д.: 160,0, 119,8, 119,7, 114,0, 113,7, 107,9, 107,6; HRMS (ESI): вычислено m/z. для C7H5ClN2S [M + H]+ : 184,9862; найдено: 185.0111.

(ii) Общая процедура синтеза замещенного (E)-1-бензилиден-2-(4-тиоцианатофенила) аналоги гидразина.

К раствору N-бромсукцинимида (1,0 ммоль) в EtOH (10 мл) добавляли KSCN (2,1 ммоль) и перемешивали при комнатной температуре (27 С) в течение 5 мин. К этому раствору добавляли 1- (замещенный бензилиден)-2-фенилгидразин (1,0 ммоль) и реакционную смесь перемешивали при комнатной температуре (27 С) в течение 20 мин. Реакционную смесь концентрировали, разбавляли водой и трижды экстрагировали EtOAc. Объединенные органические экстракты концентрировали в вакууме и полученный сырой продукт очищали колоночной хроматографией на силикагеле (60–120 меш), используя смесь гексана и этилацетата (10:1) в качестве подвижной фазы, с получением желаемого продукта. . 1-бензилиден-2-(4-

тиоцианатофенил)гидразин (2a): желтое твердое вещество; Выход 95%; т. пл. = 112–114 С; ИК (vmax, см-1): 3479,12, 3373,20, 2155,30, 1707,64, 1625,34, 1589,70, 1544,17, 1494,36, 1444,08, 1422,36, 1358,39, 1304,85, 125 9,80, 1220,69, 1191,30, 1138,59, 1067,28, 1026,73, 953,13, 928,58, 842,48, 802,17, 755,39; ЯМР 1Н (400 МГц, CDCl3) δ м.д.: 7,80 (с, 1H, NH), 7,71 (с, 1H, CH), 7,64–7,66 (м, 2H, Ar), 7,44–7,47 (м, 2H, Ar) , 7.31–7.40 (м, 3H, Ar), 7.11–7.14 (м, 2H, Ar); ЯМР 13С (100 МГц, CDCl3) δ м.д.: 146,6, 139,4, 134,7, 134,2, 129,2, 128,8, 126,6, 114,2, 112,2, 111,6; HRMS (ESI): вычислено m/z. для C14H11N3S [M + H]+ : 254,0674; найдено: 254.0794.

1-(2-хлорбензилиден)-2-(4-тиоцианатофенил)гидразин (2c): бледно-коричневое твердое вещество; Выход 90%; т. пл. = 113–114 С; ИК (vmax, см-1): 3480,27, 3374,88, 2926,24, 2155,25, 1707,39, 1625,72, 1590,60, 1544,19, 1494,22, 1444,23, 1422,36, 1358,23, 130 3,22, 1259,94, 1221,15, 1191,24, 1135,16, 1067,31, 1026,67, 928,27, 842,70, 802,17, 754,81; ЯМР 1Н (400 МГц, CDCI3) δ м.д.: 8.14 (c, 1H, NH), 8.05 (c, 1H, CH), 8.01–8.03 (м, 1H, Ar), 7.47–7.48 (м, 1H, Ar), 7,45–7,46 (м, 1H, Ar), 7,34–7,36 (м, 1H, Ar), 7,25–7,29 (м, 2H, Ar), 7,13–7,15 (м, 2H, Ar); ЯМР 13С (100 МГц, CDCI3) δ м.д.: 146,2, 135,8, 135,7, 134,1, 133,1, 132,1, 129,9, 127,1, 126,8, 114,3, 112,2, 112,1; НRMS (ESI): вычислено m/z. для C14H10CIN3S [М + H]+ : 288,0284; найдено: 288.0384.

1-(3-бромбензилиден)-2-(4-тиоцианатофенил)гидразин (2d): белое твердое вещество; Выход 83%; т.пл. = 119–121 С; ИК (vmax, см-1): 3474,59, 3372,59, 3233,14, 2925,76, 2154,54, 2054,68, 1623,93, 1591,81, 1476,32, 1420,75, 1315,22, 1239,46, 112 3,23, 1020,23, 902,03, 849,96, 813,39;

ЯМР 1H (400 МГц, CDCl3) δ м.д.: 7.86 (c, 1H, NH), 7.81 (c, 1H, CH), 7.63 (c, 1H, Ar), 7.53 (д, 1H, Ar), 7.41–7.50 (м, 3H, Ar), 7,25 (с, 1H, Ar), 7,12 (м, 2H, Ar); ЯМР 13С (100 МГц, CDCl3) δ м.д.: 146,1, 137,4, 136,8, 134,1, 131,9, 130,3, 129,1, 125,2, 123,0, 114,3, 112,3, 112,0; HRMS (ESI): вычислено m/z. для C14H10BrN3S [M + H]+ : 333,9779; найдено: 333.9831.

1-(4-хлорбензилиден)-2-(4-тиоцианатофенил)гидразин (2e): бледно-желтое твердое вещество; Выход 90%; т. пл. = 120–122 С; ИК (vmax, см-1): 3449,59, 3368,62, 3246,89, 2924,89, 2150,60, 1628,89, 1592,12, 1568,60, 1491,02, 1454,53, 1402,63, 1296,51, 115 3,92, 1091,96, 1032,18, 995,58, 885,14,

814,70, 719,01, 671,25; ЯМР 1H (400 МГц, CDCI3) δ м.д.: 7,81 (с, 1H, NH), 7,67 (с, 1H, CH), 7,56–7,59 (м, 2H, Ar), 7,45–7,48 (м, 2H, Ar), 7,33–7,36 (м, 2H, Ar), 7,11–7,14 (м, 2H, Ar); ЯМР 13С (100 МГц, CDCI3) δ м.д.: 146,3, 138,0, 134,9, 134,1, 133,2, 129,0, 127,6, 114,2, 112,1, 112,0; HRMS (ESI): вычислено m/z. для C14H10CIN3S [M + H]+ : 288,0284; найдено: 288.0461. 1-(4-фторбензилиден)-2-(4-тиоцианатофенил)гидразин (2f): белое твердое вещество;

Выход 87%; т. пл. = 125–127 С; ИК (vmax, см-1): 3477,89, 3372,94, 2926,24, 2155,71, 1708,75, 1625,84, 1590,34, 1544,08, 1494,31, 1443,82, 1422,32, 1358,46, 130 4,64, 1259,70, 1220,31, 1191,54, 1133,84, 1092,93, 1067,24, 1026,65, 928,31 , 842,62, 802,07, 755,02, 693,91; ЯМР 1Н (400 МГц, CDCI3) δ м.д.: 7,78 (с, 1H, NH), 7,69 (с, 1H, CH), 7,61–7,65 (м, 2H, Ar), 7,44–7,47 (м, 2H, Ar) , 7.05–7.13 (м, 4H, Ar); ЯМР 1ЗС (100 МГц, CDCI3) δ м.д.: 146,5, 138,2, 134,2, 128,3, 128,2, 116,0, 115,8, 114,1, 112,1, 111,7; HRMS (ESI): вычислено m/z. для C14H10FN3S [M+H]+: 272,0579; найдено: 272.0639. 1-(4-нитробензилиден)-2-(4-тиоцианатофенил)гидразин (2 г): оранжевое твердое вещество; Выход 93%; т.пл. = 143–145 С; ЯМР 1Н (400 МГц, CDCI3) δ м.д.: 8.25 (с, 1H, NH), 8.23 (с, 1H, CH), 8.09 (с, 1H, Ar), 7.74–7.81 (м, 3H, Ar),

7.50 (д, 2H, Ar), 7,18 (д, 2H, Ar); ЯМР 13С (100 МГц, CDCl3) δ м.д.: 146,3, 138,0, 134,9, 134,1, 133,2, 129,0, 127,6, 114,2, 112,1, 112,0; HRMS (ESI): вычислено m/z. для C14H10N4O2S [M + H]+ : 299,0524; найдено: 299.0602.

1-(4-бромбензилиден)-2-(4-тиоцианатофенил)гидразин (2h): желтое твердое вещество; Выход 83%; т.пл. = 111–113 С; ИК (vmax, см-1): 3427,48, 3339,89, 3213,03, 2920,65, 2146,96, 1708,08, 1625,62, 1592,74 , 1481,86, 1453,57, 1360,12, 1325,91, 125 4.65, 1221.13, 1139.17, 1034.00, 858.95, 817,13, 739,36, 671,84; ЯМР 1Н (400 МГц, CDCI3) δ м.д.: 7.80 (c, 1H, NH), 7.66 (c, 1H, CH), 7.51 (м, 4H, Ar), 7.45–7.48 (м, 2H, Ar), 7.11 –7,14 (м, 2H, Ar); ЯМР 13С (100 МГц, CDCI3) δ м.д.: 146,2, 138,0, 134,1, 133,7, 132,0, 127,9, 123,1, 114,2, 112,2, 112,1; HRMS (ESI): вычислено m/z. для C14H10BrN3S [M + H]+ : 333,9844; найдено: 333,9779.

2.2. Рентгеноструктурный анализ

Монокристалл соединения 1л хорошего качества был получен медленным упариванием раствора с использованием растворителя этанола. Кристалл был установлен по наибольшему размеру и использовался для сбора данных. Данные об интенсивности были собраны с помощью системы Bruker Smart CCD Area Detector System с использованием излучения МоКα (0,71073 Å) в режиме сканирования ω-f . Данные были обработаны с помощью SAINT-Plus [45]. Структура расшифрована прямыми методами и уточнена на F2 с использованием пакета SHELX-97 [46] . Все неводородные атомы уточнены анизотропно. Поскольку водороды нелегко было обнаружить по разностным картам Фурье, они были включены в идеальные положения с фиксированными изотропными значениями U и перемещались вместе со своими соответствующими неводородными атомами. Разностная карта Фурье после уточнения

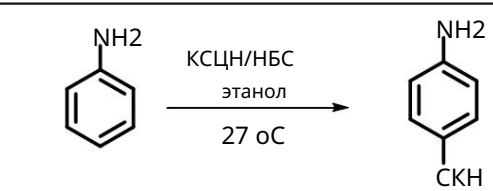
во всех случаях был по существу безликим. Расчеты средней плоскости проводились с использованием программы PARST [47]. Диаграммы и материалы для публикации были созданы с использованием ORTEP-3 [48], PLATON [49], CAMERON [50] и DIAMOND [51]. Файлы CIF депонированы в Кембриджском банке структурных данных, номер депонирования соединения 11 — CCDC-2251369. Эти данные можно получить бесплатно по адресу https://www.ccdc.cam.ac.uk/ (по состоянию на 8 января 2024 г.) [или из Кембриджского центра кристаллографических данных (CCDC), 12 Union Road, Cambridge CB2 1EZ, Великобритания; факс: +44(0)1223-336033; электронная почта: депозит@ccdc.cam.ac.uk].

3. Результаты и их обсуждение

Попытки тиоцианирования ароматического ядра предпринимались при нескольких условиях. Изучение многочисленных используемых реагентов показывает, что стратегии тиоцианирования можно обобщить механистически. Более распространенный подход заключается в создании электрофила SCN+ из тиоцианат-аниона с последующим присоединением электрофила к арильному кольцу и отрывом протона [32,36,44]. Второй подход включает окисление субстрата с образованием катион-радикала, который будет способствовать прямой атаке аниона SCN-. Полученные частицы могут подвергаться отрыву радикалов водорода с образованием продукта [34]. Еще одним подходом может быть окисление тиоцианат-аниона до радикала SCN и добавление радикала к субстрату для образования тиоцианированного углеродного радикала. Перенос электрона от углеродного радикала приведет к образованию карбокатиона, теряющего протон [35]. π -комплекс или ионная пара, образующаяся между субстратом и окислителем, может подвергаться атаке аниона SCN- с образованием роданидированного углеродного радикала, а последующий перенос переноса электрона генерирует карбокатион, который образует продукт за счет потери протона [39]. Среди этих стратегий образование и реакция электрофильного SCN+ могли бы быть более простым и удобным процессом, который может использовать преимущества нуклеофильного характера субстратов, таких как анилин. На этом фоне мы решили исследовать электрофильное тиоцианирование анилина с использованием электрофила SCN+.

В поисках более мягкой и удобной процедуры тиоцианирования мы исследовали различные условия реакции, включающие взаимодействие NBS с роданиатом щелочного металла. Наши результаты показывают, что NBS в сочетании с тиоцианатом калия в этаноле в качестве растворителя дает оптимальные результаты. Для изучения эффективности этой реакции в качестве модельного субстрата был выбран анилин и проведены различные эксперименты по оценке концентрации реагента и потенциального растворителя. Результаты, суммированные в таблице 1, показывают, что этанол будет наиболее эффективным растворителем. Учитывая свойства зеленой химии и экологичность, в качестве растворителя для реакций тиоцианирования был выбран этанол. Путем оптимизационных исследований мы определили, что мольное соотношение анилина/KSCN/NBS в этаноле 1:2:1 при комнатной температуре (27 С) обеспечивает наилучшие условия для полной конверсии за короткое время реакции, что приводит к максимальному выходу Продукт 4-тиоцианатоанилин. На основании этого с использованием in situ генерируемого N-тиоцианатсукцинимида (НТС) было достигнуто тиоцианирование замещенных анилинов и производных 1-(замещенного бензилиден)-2-фенилгидразина .

Таблица 1. Оптимизация усоховий ревации и лициани рования в наничина.



Вжужьд	Растворит е дн _{воритель}	ĸeeh	Η₽€C	врВиямя	_{Вых} выход
		Оффияниена) е)	(ура биравне ние)	ч/ мии ин	(%) (%)
¹ 1	дмсо дмсо	2	1 1	2 часа	60 60
2 2	дцэ дцэ	22	11	час а а́с а 1,5	50 50
3	DCM DCM	2	11	часа 1,5 часа 1,5	⁷⁰ 70
4 5	ДМФ ДМФ ТГФ	2 2 2	1 1	часа 2 часа 2	50 60
6	ТГФ Диоксан	2	11	часа 1 час 1	40 60
57	 Диокса ӊ цетонитрил	2	11	часанас 1,5	80 40
8	АцетонМФЯМ	2	11	1,5 പുള്ള 1	85 80
9 10	МеОН этанол этанол	2 2 2	1 0,25 1 0,50	45 минут 1 час 1 час	⁷⁰ 85 85
11	этанол	2	0,25 0,75	45	90 70
1012	этанол _{этанол}	2	0,50 1	448 41 74åc 1	98 85
(1 илин (1,0) мм әлађ Фт бромсукцинимид	(1,0 <mark>й</mark> моль), KSCN	(2,1 ммоЯь/);5а Изолир	ованная доходеростыут	1 час 90
12	этанол	2	1	20 минут	98

Анили М екрения или я энчери м или междине тинд чало выходенения (Д. б помуни) на ини мина вы на в доходность.

тиоцианат калия с получением N-тиоцианатсукцинимида. Этот промежуточный продукт служит элект ស្រីស្នារារអាមារ ជាត្បានសម្រារ មាន ប្រារុម្មាន ប្រកុម្មាន ប្រារុម្មាន ប្រារុម្ម ប្រារុម្ម ប្រារុម្មាន ប្រារុម្មាន ប្រារុម្មាន ប្រារុម្មាន ប្រារុម្មាន ប្រារុម្មាន ប្រារុម្មាន ប្រារុម្មាន ប្រារុម្មាន ប្រារុម្ម ប្រារុម្មាន ប្រារុម្មិន បានប្រារុម្មិន ប្រារុម្មិន ប្រារុម្មិន ប្រារុម្មិន ប្រារុម្មិន ប្រារុម្មិន ប្រារុម្មិន ប្រារុម្មិន ប្រារុម្មិន ប្រុម្មិន ប្រារុម្មិន បានប្រារុម្មិន ប្រារុម្មិន ប្រារុម្មិន ប្រារុម្មិន ប្រារុម្មិន ប្តិ ប្រារុម្មិន ប្រារិទ្ធ ប្រារុម្មិន ប្រារុម្មិន ប្រារុម្មិន ប្រារុម្មិន ប្រារុម្មិន ប្រារិទ្ធ ប្រារុម្មិន ប្រារុម្មិន ប្រារុម្មិន ប្រារុម្មិន ប្រារុម្មិន ប្រារុម្មិន ប្រារុម្មិន ប្រារុម្មិន ប្រារុម្យិន ប្រារុម្យិ

ъидания неттидения полтинарвильне № рипсыя эфэтмукичению мускотощу регонерумяющий сторазусь выпукиту-анового Клекофуфля на отверяющо выпуку нуедше со вына временью получений выпуку получений выпуку высти.

ыуилюнфированнарауколонованидиионодногованный заряд развивается в пара-положении при пропень ы упаросфотражения тучкображованию жельней заряд развивается в пара-положении при пропень ы упаросфотражения тучкображованию жельней с тичков довосиле д

тириманде в укан Быега ра окомноси на обросите в раскими тириманирования. Для орто-и метазамещенных ароматических соединений электроноакцепторные соединений дали удовлетворительные результаты с точки эрения хороших выходов и реакция, происк удемания скимериетвовительные результаты с точки эрения хороших выходов и реакция, происк удеманизмения дали удовлетворительные результаты с точки эрения хороших выходов и реакция, происк за премя удемания происк удемания в происк удемания происк удема

действий полученые соединения 1-бензилиден-2-фенилгидразин в описанных условиях давал желаемый результат. в результате были получены ортотиоцианированные продукты (рис. 3). Впоследствии мы исследовали действие продукты (рис. 3). Впоследствии мы исследованные электрон- иден-2-фенилгидразин, удаляющие заместители, такие как бром-, хлор-, фтор- и нитрогруппы, показали хорошие результаты. бензилиден-2-(4-тиоцианатофенил)гидразин с впечатляющим выходом 95%. Различный выходы с высокой региоселективностью. Однако исследованные электронодонорные группы производные 1-(замещенного бензилиден)-2-фенилгидразина, несущие электронодонорные группы не дали родацианированных продуктов (рис. 4). Синтезированные соединения представляли собой заместители, такие как бром-, хлор-, фтор-, и нитрогруппы, показали хорошие выходы с охарактеризованы методами ИК, ЯМР и масс-спектрометрии и, наконец, структура высокая региоселективность. Однако исследованные электронодонорные группы не дали было убедительно установлено ренттеноструктурным анализом монокристалла 11 (рис. 5 и роданоцианираванные продукты (рис. 4). Синтезированные соединения характеризовались ИК, ЯМР и масс-спектрометрические методы, и, наконец, структура была убедительно установлена.

установлено с помощью рентгеноструктурного анализа монокристалла 1l (рис. 5 и рисунки S1–S91, Дополнительные материалы).

Предполагаемый механиям резкеций рамона на предполагаемый механизм резовыматильной движение и предполагаемый механизм резовым предполагаемый механизм резовым предполагаемый механизм резовым предполагаемый механизм резовым предполагаем и предрашение субстрата в интермедиат или продукт. В предполагаем предполагаем предостать и интермедиат или продукт.

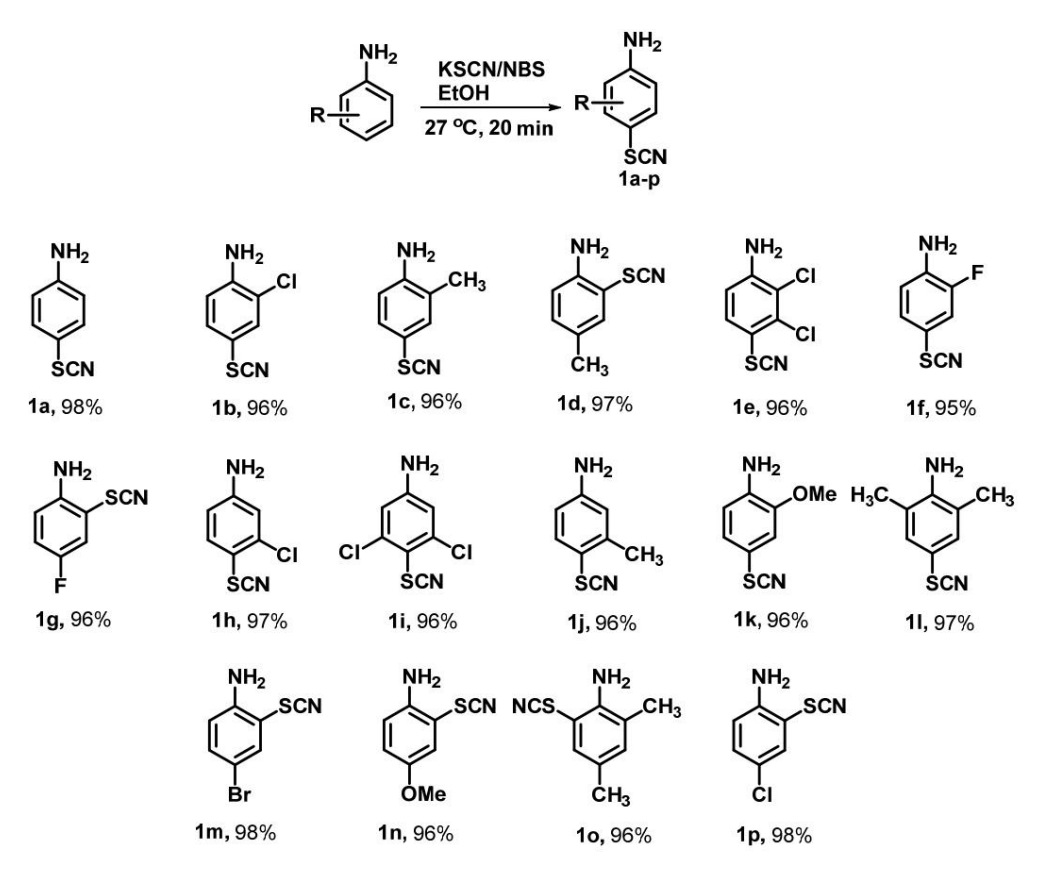
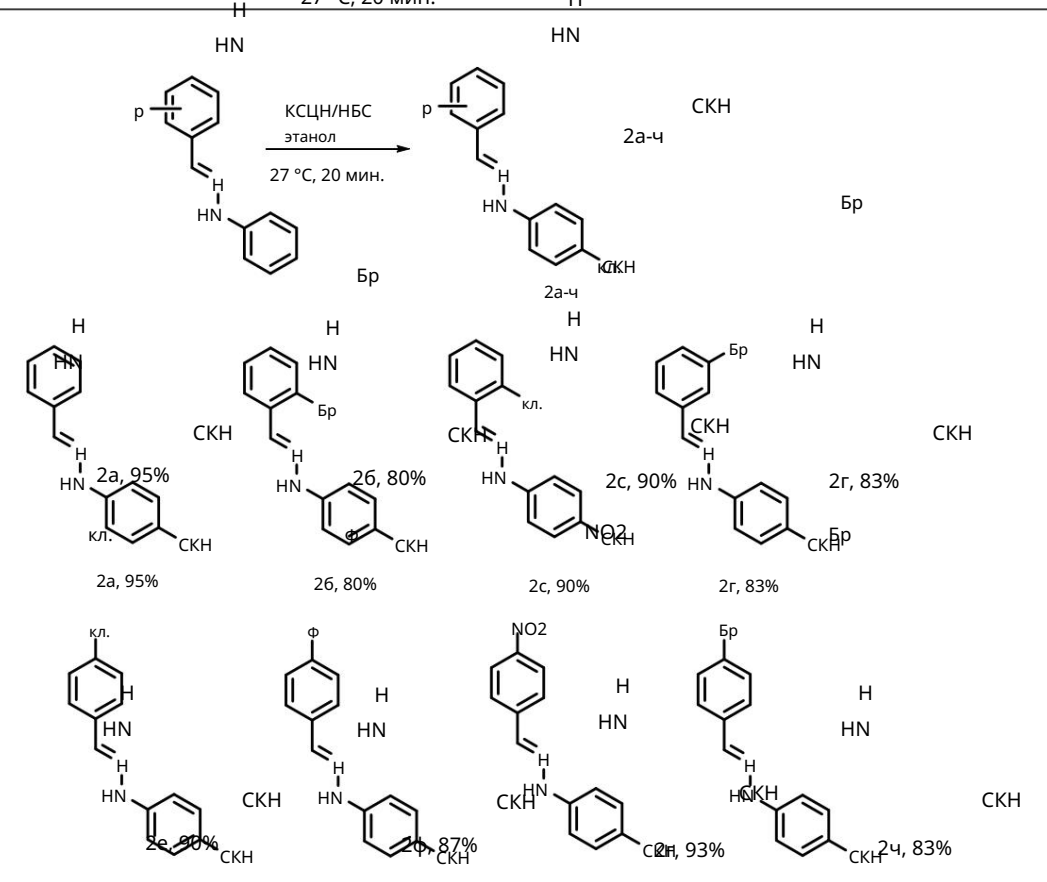


Рисунок 3. Синтезировный в в метезированный в в метезированный в в метезированный в в метезирования в метезиро

Химия Химия 2024, 2024, 6, на экспертную рецензию 27 °C, 20 мин. Н



485

Рисунок 4. Сийт 89% рованные 1-(зам**ефцет**мые бензилиден<u>е</u> 2, фвиоцианатофен**ая) вод**разины.

Рисунжк44. Силтят и в промышен Ныстичивание и сеченый пидения в стой одиналивания в промышения в промышени

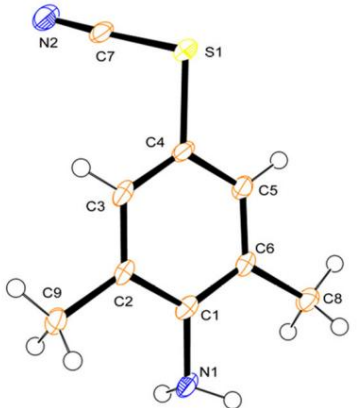


Рисунок 5. ORTEP-вид молекулы 1I с атомной меткой (термические эллипсоиды, нарисованные при 50%

_**Вероятия с** 5-) ОRTEP-вид молекулы 11 с атомной меткой (термические эллипсоиды, нарисованные при 50% Рисунок 5. ОRTEP-вид молекулы 11 с атомной меткой (термические эллипсоиды, нарисованные при 50% вероятность). В вероя на основе экспериментов по тиоцианированию 1-(замещенных бензилиден)-2-

(фенил)гидразинов (Ar-CH=N-NH-Ph) было очевидно, что, хотя субстрат имеет два арильных На основе экспериментов по тиоцианированию 1-замещенного бензилидена)-2-(фенила) моглизпорвережитериментов по тиоцианированию 1-замещенного бензилидена)-2-(фенила) моглизпорвережитериментовании рекаризменное (Аг-СН=N-NH-Ph), было очевидно хотя субстрат имеет два арильных кольца нилугидразинов (Аг-СН=N-NH-Ph), было очевидно уста убетрат имеет два арильных кольца нилугидразинов (Аг-СН=N-NH-Ph), было очевидно уста произходит только на фенильном кольце, присоединенном к колець которые могли подвергаться тиоцианированию реакция произходит только на фенильном кольце, присоединенном к колець которые убети и теля присоединенном к кольце по группе -NH. Причина может быть связана с электронодонорной способностью -NH. присоединен к группе -NH. Причиной может быть электронодонорная способность. группа, которая увеличивает электронную плотность на фенильном кольце и, следовательно, делает его высоко группы -NH, что увеличивает электронную плотность на фенильном кольце и, следовательно, делает его высоко нужлеофильный, чтобы вступить в реакцию электрофильного замещения. Для сравнения: арильное кольцо

4. Выводы

В заключение мы сообщаем об эффективном, экологичном и экспериментально простом методе. для селективного тиоцианирования замещенных анилинов и 1-(замещенного бензилиден)-2-

имина является более бедным нуклеофилом и поэтому не решается атаковать электрофил.

фенилгидразины. Протокол, в котором используются NBS и KSCN при комнатной температуре (27 С), продемонстрировал отличные результаты для всех производных, что подчеркивает его практичность и эффективность. Экологичность протокола тиоцианирования открывает возможности для разнообразных применений в медицинской химии и смежных областях. Настоящие результаты не только продвинут методологию селективного тиоцианирования, но и проложат путь для разработки новых соединений, открывая захватывающие перспективы для будущих исследований и практического применения.

Дополнительные материалы. Следующую вспомогательную информацию можно загрузить по адресу: https://www.mdpi.com/article/10.3390/chemistry6030027/s1, Рисунки S1–S91: спектры ЯМР 1Н и 13С , масс-спектры высокого разрешения всех синтезированных соединений, а также ИК-спектры типичных соединений и рентгеноструктурный анализ соединения 1I можно найти в дополнительном электронном контенте настоящего документа. статья. Таблица S1: Кристаллические данные и параметры уточнения для соединентаблица S2: Несвязанные взаимодействия и возможные водородные связи (Å,) для соединения 1 (D-донор; А-акцептор; Н-водород).

Вклад авторов: АМММ, Эксперименты; ГК, Сборник; КС, Рецензирование; ВДР – Анализ ; ВАН, Концептуализация. Все авторы прочитали и согласились с опубликованной версией рукописи .

Финансирование: Випин А. Наир с благодарностью отмечает финансирование, полученное в виде исследовательского гранта (грант № 02/0447/21/EMR-II) от Группы развития человеческих ресурсов Совета научных и промышленных исследований правительства Индии. . Хаджамохиддин Саед выражает искреннюю благодарность Университету Зулуленда (грант номер Р419) за оказание финансовой поддержки. Вадди Дамодара Редди благодарит Университет Зулуленда, Южная Африка, за назначение его приглашенным научным сотрудником.

Заявление о доступности данных: оригинальные материалы, представленные в исследовании, включены в статью/Дополнительные материалы, дальнейшие запросы можно направить соответствующему автору/ам.

Конфликты интересов: Авторы заявляют об отсутствии конфликта интересов финансового или личного характера.

Рекомендации

- 1. Чен, Х.; Ши, Х.; Лю, Х.; Чжао, Л. Недавний прогресс реакций прямого тиоцианирования. Орг. Биомол. хим. 2022, 20, 6508–6527. [Перекрестная ссылка] [ПабМед]
- 2. Гао, М.; Вуагнат, М.; Чен, МОЙ; Паннекук, Х.; Жубо, П.; Бессет, Т. Разработка и использование электрофильных тиоцианирующих и селеноцианирующих реагентов: новая тенденция в создании соединений, содержащих SCN и SeCN. хим. Евро. Дж. 2021, 27, 6145–6160. [Перекрестная ссылка] [ПабМед]
- 3. Келли, ТR; Ким, Миннесота; Кертис, А.Д. Коррекция структуры и синтез природного бензотиазинона ВМУ 40662. J. Орг. хим. 1993, 58, 5855–5857. [Перекрестная ссылка]
- 4. Джонсон, ТБ; Дуглас, И.Б. Действие хлора на роданиды. Варенье. хим. Соц. 1939, 61, 2548–2550. [Перекрестная ссылка]
- 5. Кастанейру, Т.; Сафферт, Дж.; Доннард, М.; Гулеа, М. Последние достижения в химии органических тиоцианатов. хим. Соц. Преподобный. 2016, 45, 494–505. [Перекрестная ссылка] [ПабМед]
- 6. Поташ, С.; Розен, С. Новый синтез трифторметилсульфидов с использованием тиоцианатов и фтороформа. Дж. Флуор. хим. 2014, 168, 172–176. [Перекрестная ссылка]
- 7. Баярмагнай, Б.; Матейс, К.; Жувен, К.; Гуссен, Л. Дж. Синтез дифторметилтиоэфиров из дифторметилтриметилсилана и органотиоцианатов, образующихся in situ. Энджью. хим. Межд. Эд. англ. 2015, 4, 5753–5756. [Перекрестная ссылка] [ПабМед]
- 8. Лу, Х.; Ван, Х.; Гао, Р.; Сан, Д.; Би, Х. Синтез асимметричных дисульфидов с помощью микроволнового излучения. РСК Адв. 2014, 4, 28794–28797.
- 9. Ренард, П.Ю.; Швебель, Х.; Вайрон, П.; Жозиен, Л.; Валлей, А.; Миосковски, К. Легкий доступ к фосфонотиоатам. хим. Евро. Дж. 2002,
- 10. Эриан, А.В.; Шериф С.М. Химия тиоциановых эфиров. Тетраэдр 1999, 55, 7957–8027. [Перекрестная ссылка]
- 11. Патаи С. Химия цианатов и их тиопроизводных; John Wiley & Sons Ltd.: Хобокен, Нью-Джерси, США, 1977 г.; ISBN 978-0471994251.
- 12. Хе, НҮ; Фолкнер, диджей; Шумский, Ю.С.; Хонг, К.; Кларди, Дж. Сесквитерпентиоцианат и три сесквитерпеновых изотиоцианата. из губки Trachyopsis aplysinoides. Дж. Орг. хим. 1989, 54, 2511–2514. [Перекрестная ссылка]
- 13. Берресон, Би Джей; Шойер, П.Дж.; Файнер, Дж.; Кларди, Дж. 9-изоцианопупукеанан, алломон морских беспозвоночных с новым сесквитерпеновым скелетом. Варенье. хим. Соц. 1975, 97, 4763–4764. [Перекрестная ссылка]
- 14. Патил, А.Д.; Фрейер, АJ; Райхвайн, Р.; Карт, Б.; Киллмер, LB; Фосетт, Л.; Джонсон, РК; Фолкнер, DJ Фасикулярин, новый трициклический алкалоид асцидии Nephteis fasicleis с селективной активностью против организмов с дефицитом репарации ДНК. Тетраэдр Летт. 1997, 38, 363–364. [Перекрестная ссылка]

15. Хименес, К.; Крюс, П. Новые аминокислоты, полученные из морских губок 13. Дополнительные производные псаммаплина из Psammaplysilla purpurea. Тетраэдр 1991, 47, 2097–2102. [Перекрестная ссылка]

- 16. Прават, Х.; Махидол, К.; Кавитрипоб, В.; Прачьяваракорн, В.; Тунтивачвуттикул, П.; Ручирават, С. Сесквитерпеновые изоцианиды, изотиоцианаты, тиоцианаты и формамиды из тайской губки Halichondria sp. Тетраэдр 2016, 72, 4222–4229. [Перекрестная ссылка]
- 17. Капон, Р.Дж.; Скин, К.; Лю, ЕНТ; Лейси, Э.; Гилл, Дж. Х.; Хейланд, К.; Фридель, Т. Выделение и синтез новых нематоцидных дитиоцианатов из австралийской морской губки Oceanapia sp. Дж. Орг. хим. 2001, 66, 7765–7769. [Перекрестная ссылка] [ПабМед]
- 18. Сайнман, С.Х.; Ян, В.; Бейли, Б.Н.; Докампо, Р.; Эльхалем, Э.; Родригес, Дж. Б. Разработка и синтез производных арилоксиэтилтиоцианата как мощных ингибиторов пролиферации Trypanosoma cruzi. Дж. Мед. хим. 2000, 43, 1826–1840. [Перекрестная ссылка] [ПабМед]
- 19. Абреу, Мэн; Жезотарский, В.; Кайл, диджей; Хинер, Р. Получение оксопиразолинилтиоцианата и бис(оксопиразолинил)дисульфидов в качестве антагониста фактора высвобождения кортикотропина. Патент США 5063245 А, 5 ноября 1991 г.
- 20. Весснер Н.; Алхалаби, З.; Гонсалес Дж.; Свайтер, С.; Ган, Дж.; Шмидткунц, К.; Чжан, Л.; Вакеро, А.; Оваа, Х.; Эйнсле, О.; и другие.

 Сиртуин-1, ингибирующий тиоцианаты (S1th) новый класс изотип-селективных ингибиторов НАД+-зависимых лизиндеацетилаз. Передний.

 Онкол. 2020, 10, 657–671. [Перекрестная ссылка] [ПабМед]
- 21. Лаали, К.К.; Гревес, WJ; Зварич, АТ; Корреа Смитс, SJ; Троендл, Ф.Дж.; Бороский, Г.Л.; Ахтар, С.; Манна, А.; Паулюс, А.; Чанан- Хан, А.; и другие. Синтез, компьютерное исследование стыковки и биологическая оценка библиотеки гетероциклических куркуминоидов с выраженной противоопухолевой активностью. ХимМедХим 2018, 13, 1895–1908. [Перекрестная ссылка] [ПабМед]
- 22. Чо, СС; Ли, СГ; Лалонд, Ти Джей; Ян, К.С.; Ю, Г.; Цяо, Ю.; Сюй, С.; Лю, WR: Перепрофилирование препарата для лечения папаин-подобного SARS-CoV-2 протеаза. ХимМедХим 2022, 17, e202100455. [Перекрестная ссылка] [ПабМед]
- 23. Чакрабарти, М.; Саркар, С. Экологически чистое тиоцианирование индолов и карбазолов с помощью глины. Тетраэдр Летт. 2003, 44,
- 24. Иранпур, Н.; Фирузабади, Х.; Азади, Р. Новая дифенилфосфинитовая ионная жидкость (IL-OPPh2) в качестве реагента и растворителя для высокоселективного бромирования, тиоцианирования или изотиоцианирования спиртов, а также триметилсилиловых и тетрагидропираниловых эфиров. Тетраэдр Летт. 2006, 47, 5531–5534. [Перекрестная ссылка]
- 25. Кумар А.; Ахамд, П.; Маурья, Р.А. Прямое α-тиоцианирование карбонильных и β-дикарбонильных соединений калием пероксидисульфат-медь (II). Тетраэдр Летт. 2007, 48, 1399-1401. [Перекрестная ссылка]
- 26. Гиткис А.; Беккер, Дж. Я. Анодное тиоцианирование моно- и дизамещенных ароматических соединений. Электрохим. Акта. 2010, 55, 5854-5859. [Перекрестная ссылка]
- 27. Ядав, Дж.С.; Редди, БВС; Кришна, ВВМ IBX: Новый универсальный окислитель для электрофильного тиоцианирования индолов, пиррола и ариламинов. Синтез 2008, 23, 3779—3782. [Перекрестная ссылка]
- 28. Дас, Б.; Кумар А.С. Эффективное тиоцианирование индолов с использованием паратолуолсульфокислоты. Синтез. Коммун. 2010, 40, 337–341.
- 29. Ичаке, СС; Раджавинслин, РР; Кавала, В.; Виллури, БК; Ян, Х.-Т.; Куо, Ч.-В.; Яо, К.-Ф. N-бромсукцинид-опосредованный тиоциан-N-оксиды изооксазолина. конденсированные с циклогексеном. Азиатская Дж. Орг. хим. 2016. 5. 343–352. [Перекрестная ссылка]
- 30. Ахлагиния, Б.; Пурали, Арканзас; Рахмани, М. Эффективный и новый метод тиоцианирования ароматических соединений с использованием трихлоризоциануровой кислоты/ тиоцианата аммония/влажного SiO2. Синтез. Коммун. 2012, 42, 1184–1191. [Перекрестная ссылка]
- 31. Наир В.; Джордж, Т.Г.; Наир, LG; Паникер, С.Б. Прямой синтез арилтиоцианатов с использованием нитрата церия (IV)-аммония. Тетраэдр Летт. 1999, 40, 1195–1196. [Перекрестная ссылка]
- 32. Ядав, Дж.С.; Редди, БВС; Шубашри, С.; Садашив, К. Йод/МеОН: новая и эффективная система реагентов для тиоцианирования ароматических и гетероароматических соединений. Тетраэдр Летт. 2004, 45, 2951–2954. [Перекрестная ссылка]
- 33. Джадхав, В.К.; Пал, РР; Вадгаонкар, ПП; Салунхе М.М. Простой синтез арилтиоцианатов с использованием пербората натрия. Синтез. Коммун. 2001, 31, 3041–3045. [Перекрестная ссылка]
- 34. Ву, Г.; Лю, К.; Шен, Ю.; Ву, В.; Ву, Л. Региоселективное тиоцианирование ароматических и гетероароматических соединений с использованием тиоцианат аммония и оксон. Тетраэдр Летт. 2005, 46, 5831–5834. [Перекрестная ссылка]
- 35. Пан, ХQ; Лей, МОЙ; Цзоу, Япония; Чжан, В. Mn(OAc)3 -промотировал региоселективное свободнорадикальное тиоцианирование индолов и анилинов. Тетраэдр Летт. 2009, 50, 347–349. [Перекрестная ссылка]
- 36. Иранпур, Н.; Фирузабади, Х.; Халили, Д.; Шахин, Р. Новое применение диэтилазодикарбоксилата: эффективное и региоселективное тиоцианирование ароматических аминов. Тетраэдр Летт. 2010, 51, 3508-3510. [Перекрестная ссылка]
- 37. Ядав, Дж.С.; Редди, БВС; Кришна, АD; Редди, CS; Нарсайя, А.В. Электрофильное тиоцианирование ароматических и гетероароматических соединений, промотируемое хлоридом железа(III). Синтез 2005, 2, 961–964. [Перекрестная ссылка]
- 38. Мурти, YLN; Говинд, Б.; Дивакар, бакалавр наук; Нагалакшми, К.; Вену, Р. Технология чистых реакций с использованием микроволнового излучения для региоселективного тиоцианирования замещенных анилинов и индолов в твердых средах. Дж. Иран. хим. Соц. 2011, 8, 292–297. [Перекрестная ссылка]
- 39. Мемариан, HR; Мохаммадпур-Балторк, И.; Никуфар, К. Тиоцианирование ароматических и гетероароматических соединений, стимулируемое DDQ. Может. Дж. Хим. 2007, 85, 930–937. [Перекрестная ссылка]
- 40. Ву Дж.; Ву, Г.; Ву, Л. Тиоцианирование ароматических и гетероароматических соединений с использованием тиоцианата аммония и I2O5 . Синтез. Коммун. 2008, 38, 2367-2373. [Перекрестная ссылка]
- 41. Махаджан, США; Акаманчи, К.Г. Простой метод тиоцианирования активированных аренов с использованием иодноватой кислоты в сочетании с тиоцианат аммония. Синтез. Коммун. 2009, 39, 2674–2682. [Перекрестная ссылка]
- 42. Хазаи А.; Золфигол, Массачусетс; Мохлеси, М.; Панах, Флорида; Саджадифар, С. Простое и высокоэффективное каталитическое тиоцианирование ароматических соединений. соединения в водных средах. Хелв. Хим. Акта 2012, 95, 106–114. [Перекрестная ссылка]

43. Пракаш, О.; Каур, Х.; Пандер, Р.; Диллон, РС; Сингх, С.П. Улучшенный метод тиоцианирования 2-арилиндан-1,3-дионов, фенолов и анилинов, опосредованный йодом (III). Синтез. Коммун. 2003, 33, 4037–4042. [Перекрестная ссылка]

- 44. Тосте, Ф.Д.; Стефано, В.Д.; Тем не менее, IW. Универсальная процедура получения арилтиоцианатов с использованием N-тиоцианатсукцинимида (HTC). Синтез. Коммун. 1995, 25, 1277–1286. [Перекрестная ссылка]
- 45. Брукер. СМАРТ, СЕНТ-Плюс, САДАБС; Bruker Axs Inc.: Мэдисон, Висконсин, США, 1998 г.
- 46. Шелдрик, Г.М. Краткая история ШЕЛКСа. Акта Крист. 2008, 64, 112–122. [Перекрестная ссылка] [ПабМед]
- 47. Нарделли, М. Параметры кольцевой асимметрии по смещениям атомов вне плоскости. Акта Крист. 1983, 39, 1141–1412. [Перекрестная ссылка]
- 48. Фарруджа, ЖЖ. ОРТЭП-3 для Windows версия ОРТЭП-III с графическим интерфейсом пользователя (GUI). Прил. Крист. 1997, 30, 565.
- 49. Спек А.Л. Структурное обоснование в химической кристаллографии. Акта Крист. 2009, 65, 148–155. [Перекрестная ссылка] [ПабМед]
- 50. Уоткин, диджей; Прут, К.К.; Пирс, Эл Джей Кэмерон; Лаборатория химической кристаллографии, Оксфордский университет: Оксфорд, Великобритания, 1996.
- 51. Бранденбург, К.; Путц, Х. Crystal Impact; ГБР: Бонн, Германия, 2005 г.

Отказ от ответственности/Примечание издателя: Заявления, мнения и данные, содержащиеся во всех публикациях, принадлежат исключительно отдельному автору(ам) и соавторам(ам), а не MDPI и/или редактору(ам). MDPI и/или редактор(ы) не несут ответственности за любой вред людям или имуществу, возникший в результате любых идей, методов, инструкций или продуктов, упомянутых в контенте.